

KAISELRL. AKADEMIE DER WISSENSCHAFTEN IN WIEN.

MITTEILUNGEN
DER
ERDBEBEN-KOMMISSION
DER KAISERLICHEN
AKADEMIE DER WISSENSCHAFTEN IN WIEN.
NEUE FOLGE.

N^{O.} XLVII.

SEISMISCHE REGISTRIERUNGEN IN WIEN, K. K. ZENTRALANSTALT FÜR
METEOROLOGIE UND GEODYNAMIK, IM JAHRE 1912
VON
DR. RUDOLF SCHNEIDER,
ADJUNKTEN DER K. K. ZENTRALANSTALT FÜR METEOROLOGIE UND GEODYNAMIK.

MIT 1 TEXTFIGUR.

WIEN, 1914.
AUS DER KAISERLICH-KÖNIGLICHEN HOF- UND STAATSDRUCKEREI.

IN KOMMISSION BEI ALFRED HÖLDER,
K. U. K. HOF- UND UNIVERSITÄTSBUCHHÄNDLER,
BUCHHÄNDLER DER KAISERLICHEN AKADEMIE DER WISSENSCHAFTEN.

Die »Mitteilungen der Erdbeben-Kommission« erschienen bisher in den Sitzungsberichten der mathem.-naturw. Klasse, Abteilung I. Von nun an werden sie als besondere Ausgabe veröffentlicht werden.

Bisher sind folgende Nummern der »Mitteilungen« ausgegeben worden:

- I. Bericht über die Organisation der Erdbeben-Beobachtung nebst Mitteilungen über während des Jahres 1896 erfolgte Erdbeben, zusammengestellt von Edmund v. Mojsisovics (Sitz. Ber., Bd. 106 [1897], Abt. I, Heft II) — K 60 h.
- II. Bericht über das Erdbeben von Brüx am 3. November 1896, von Friedrich Becke (Sitz. Ber., Bd. 106 [1897], Abt. I, Heft II) — K 50 h.
- III. Bericht über das Erdbeben vom 5. Jänner 1897 im südlichen Böhmerwalde, von Friedrich Becke (Sitz. Ber., Bd. 106 [1897], Abt. I, Heft III) — K 40 h.
- IV. Bericht über die im Triester Gebiete beobachteten Erdbeben am 15. Juli, 3. August und 21. September 1897, von Eduard Mazelle (Sitz. Ber., Bd. 106 [1897], Abt. I, Heft IX) — K 40 h.
- V. Allgemeiner Bericht und Chronik der im Jahre 1897 innerhalb des Beobachtungsgebietes erfolgten Erdbeben, zusammengestellt von Edmund v. Mojsisovics (Sitz. Ber., Bd. 107 [1898], Abt. I, Heft V) 3 K 40 h.
- VI. Die Erderschütterungen Laibachs in den Jahren 1851 bis 1886, vorwiegend nach den handschriftlichen Aufzeichnungen K. Deschmanns, von Ferdinand Seidl (Sitz. Ber., Bd. 107 [1898], Abt. I, Heft VI) — K 50 h.
- VII. Verhalten der Karlsbader Thermen während des voigtländisch-westböhmischen Erdbebens im Oktober—November 1897, von Josef Knett (Sitz. Ber., Bd. 107 [1898], Abt. I, Heft VI) 2 K 60 h.
- VIII. Bericht über das Graslitzer Erdbeben vom 24. Oktober bis 25. November 1897, von Friedrich Becke (Sitz. Ber., Bd. 107 [1898], Abt. I, Heft VII) 5 K 40 h.
- IX. Bericht über die unterirdische Detonation von Melnik in Böhmen vom 8. April 1898, von Johann N. Woldřich (Sitz. Ber., Bd. 107 [1898], Abt. I, Heft X) — K 90 h.
- X. Allgemeiner Bericht und Chronik der im Jahre 1898 innerhalb des Beobachtungsgebietes erfolgten Erdbeben, zusammengestellt von Edmund v. Mojsisovics (Sitz. Ber., Bd. 108 [1899], Abt. I, Heft IV) 3 K 20 h.
- XI. Die Einrichtung der seismischen Station in Triest und die vom Horizontalpendel aufgezeichneten Erdbebenstörungen von Ende August 1898 bis Ende Februar 1899, von Eduard Mazelle (Sitz. Ber., Bd. 108 [1899], Abt. I, Heft V) 1 K — h.
- XII. Übersicht der Laibacher Osterbebenperiode für die Zeit vom 16. April 1895 bis Ende Dezember 1898, von Ferdinand Seidl (Sitz. Ber., Bd. 108 [1899], Abt. I, Heft V) — K 70 h.
- XIII. Bericht über das obersteierische Beben vom 27. November 1898, von Rudolf Hoernes (Sitz. Ber., Bd. 108 [1899], Abt. I, Heft V) 1 K 10 h.
- XIV. Bericht über die obersteierischen Beben des ersten Halbjahres 1899 (zumal über die Erschütterungen vom 1., 7. und 29. April), von Rudolf Hoernes (Sitz. Ber., Bd. 108 [1899], Abt. I, Heft VIII) 2 K 10 h.
- XV. Bericht über Erdbebenbeobachtungen in Kremsmünster, von Josef Schwab (Sitz. Ber., Bd. 109 [1900], Abt. I, Heft II) 1 K 10 h.
- XVI. Bericht über das niederösterreichische Beben vom 11. Juni 1899, von F. Nöö (Sitz. Ber., Bd. 109 [1900], Abt. I, Heft II) — K 60 h.
- XVII. Erdbebenstörungen zu Triest, beobachtet am Rebeur-Ehliert'schen Horizontalpendel vom 1. März bis Ende Dezember 1899, von Eduard Mazelle (Sitz. Ber., Bd. 109 [1900], Abt. I, Heft II) — K 90 h.

XVIII. Allgemeiner Bericht und Chronik der im Jahre 1899 innerhalb des Beobachtungsgebietes erfolgten Erdbeben, zusammengestellt von Edmund v. Mojsisovics (Sitz. Ber., Bd. 109 [1900], Abt. I, Heft III)	3 K 30 h.
XIX. Die tägliche periodische Schwankung des Erdbodens nach den Aufzeichnungen eines dreifachen Horizontalpendels zu Triest, von Eduard Mazelle (Sitz. Ber., Bd. 109 [1900], Abt. I, Heft VII)	3 K 20 h.
XX. Über die Beziehungen zwischen Erdbeben und Detonationen, von Josef Knott (Sitz. Ber., Bd. 109 [1900], Abt. I, Heft IX)	— K 80 h.
XXI. Bericht über das Detonationsphänomen im Duppauer Gebirge am 14. August 1899, von Josef Knott (Sitz. Ber., Bd. 109 [1900], Abt. I, Heft IX)	1 K — h.

Neue Folge.

I. Bericht über die Erdbebenbeobachtungen in Lemberg, von W. Láska	1 K 90 h.
II. Allgemeiner Bericht und Chronik der im Jahre 1900 im Beobachtungsgebiete eingetretenen Erdbeben, von Edmund v. Mojsisovics	2 K 30 h.
III. Bericht über die seismischen Ereignisse des Jahres 1900 in den deutschen Gebieten Böhmens, von V. Uhlig	3 K — h.
IV. Bericht über die Erdbebenbeobachtungen in Kremsmünster im Jahre 1900, von P. Franz Schwab	— K 60 h.
V. Erdbebenstörungen zu Triest, beobachtet am Rebeur-Ehlert'schen Horizontalpendel im Jahre 1900, von Eduard Mazelle	1 K — h.
VI. Das nordostböhmische Erdbeben vom 10. Jänner 1901, von J. N. Woldfich	1 K 60 h.
VII. Erdbeben und Stoßlinien Steiermarks, von R. Hoernes	2 K 10 h.
VIII. Die Erdbeben Polens. Des historischen Teiles I. Abteilung, von W. Láska	— K 80 h.
IX. Bericht über die Erdbeben-Beobachtungen in Lemberg während des Jahres 1901, von Prof. Dr. W. Láska	1 K 10 h.
X. Allgemeiner Bericht und Chronik der im Jahre 1901 im Beobachtungsgebiete eingetretenen Erdbeben, von Edmund v. Mojsisovics	3 K 30 h.
XI. Erdbebenstörungen zu Triest, beobachtet am Rebeur-Ehlert'schen Horizontalpendel im Jahre 1901, nebst einem Anhange über die Aufstellung des Vicentini'schen Mikroseismographen, von Eduard Mazelle	1 K 20 h.
XII. Bericht über die Erdbebenbeobachtungen in Kremsmünster im Jahre 1901, von Prof. P. Franz Schwab	— K 40 h.
XIII. Das Erdbeben von Saloniki am 5. Juli 1902 und der Zusammenhang der makedonischen Beben mit den tektonischen Vorgängen in der Rhodopemasse, von R. Hoernes	2 K — h.
XIV. Über die Berechnung der Fernbeben, von Prof. Dr. W. Láska	— K 30 h.
XV. Die mikroseismische Pendelunruhe und ihr Zusammenhang mit Wind und Luftdruck, von Eduard Mazelle	2 K 60 h.
XVI. Vorläufiger Bericht über das erzgebirgische Schwarmbeben vom 13. Februar bis 25. März 1903, mit einem Anhang über die Nacherschüttungen bis Anfang Mai, von J. Knott	— K 80 h.
XVII. Das Erdbeben von Sinj am 2. Juli 1898, von A. Faidiga	2 K 90 h.
XVIII. Das Erdbeben am Böhmischem Pfahl am 26. November 1902, von J. Knott	— K 80 h.
XIX. Allgemeiner Bericht und Chronik der im Jahre 1902 im Beobachtungsgebiete eingetretenen Erdbeben, von Edmund v. Mojsisovics. (Mit einem Anhange: Bericht über die Aufstellung zweier Seismographen in Příbram, von Dr. Hans Benndorf.)	2 K 60 h.
XX. Erdbebenstörungen zu Triest, beobachtet am Rebeur-Ehlert'schen Horizontalpendel im Jahre 1902, von Eduard Mazelle	1 K 40 h.
XXI. Bericht über die Erdbebenbeobachtungen in Kremsmünster im Jahre 1902, von F. Schwab	— K 50 h.

- XXII.** Bericht über die seismologischen Aufzeichnungen des Jahres 1902 in Lemberg, von Prof. Dr. W. Láska — K 70 h.
XXIII. Über die Verwendung der Erdbebenbeobachtungen zur Erforschung des Erdinnern, von Prof. Dr. W. Láska — K 40 h.
XXIV. Berichte über das makedonische Erdbeben vom 4. April 1904, von Prof. R. Hoernes 1 K — h.
XXV. Allgemeiner Bericht und Chronik der im Jahre 1903 im Beobachtungsgebiete eingetretenen Erdbeben, von Edmund v. Mojsisovics 3 K 40 h.
XXVI. Bericht über die Erdbebenbeobachtungen in Kremsmünster im Jahre 1903, von Prof. P. Franz Schwab — K 40 h.
XXVII. Bericht über das Erdbeben in Untersteiermark und Krain am 31. März 1904, von Prof. Dr. R. Hoernes und Prof. F. Seidl 1 K — h.
XXVIII. Jahresbericht des Geodynamischen Observatoriums zu Lemberg für das Jahr 1903, nebst Nachträgen zum Katalog der polnischen Erdbeben, von Prof. Dr. W. Láska — K 60 h.
XXIX. Über die Art der Fortpflanzung der Erdbebenwellen im Erdinneren (I. Mitteilung), von Dr. Hans Benndorf — K 60 h.
XXX. Erdbebenstörungen zu Triest, beobachtet am Rebeur-Ehlert'schen Horizontalpendel im Jahre 1903, nebst einer Übersicht der bisherigen fünfjährigen Beobachtungsreihe, von Eduard Mazelle — K 90 h.
XXXI. Über die Art der Fortpflanzung der Erdbebenwellen im Erdinneren (II. Mitteilung), von Dr. Hans Benndorf 1 K 50 h.
XXXII. Über das Mürztaler Erdbeben vom 1. Mai 1885, von Dr. Franz Heritsch 2 K 40 h.
XXXIII. Beschreibung des seismischen Observatoriums der k. k. Zentralanstalt für Meteorologie und Geodynamik in Wien, von Dr. Viktor Conrad 1 K — h.
XXXIV. Bericht über das Erdbeben vom 19. Februar 1908, von Dr. Franz Nöö 1 K — h.
XXXV. Über die pulsatorischen Oszillationen (mikroseismische Unruhe) des Erd- bodens im Winter 1907/1908 in Wien, von Dr. Rudolf Schneider . 1 K 50 h.
XXXVI. Die zeitliche Verteilung der in den österreichischen Alpen- und Karst- ländern gefühlten Erdbeben in den Jahren 1897 bis 1907, von Dr. Viktor Conrad 1 K — h.
XXXVII. Die Geschwindigkeit der Erdbebenwellen in verschiedenen Tiefen, von Prof. W. Trabert — K 30 h.
XXXVIII. Über seismische Laufzeiten, von Prof. V. Láska — K 40 h.
XXXIX. Seismische Registrierungen in Wien, k. k. Zentralanstalt für Meteorologie und Geodynamik, im Jahre 1909 (mit einigen Hilfstabellen zur Analyse von Bebendiagrammen), von Dr. V. Conrad 1 K 30 h.
XL. Das Scheibbser Erdbeben vom 17. Juli 1876, von A. Kowatsch . 1 K 70 h.
XLI. Seismische Registrierungen in Wien, k. k. Zentralanstalt für Meteorologie und Geodynamik, im Jahre 1910, von Dr. Rudolf Schneider . . 1 K 20 h.
XLII. Bericht über das Erdbeben in den Alpen vom 13. Juli 1910, von Dr. Josef Schorn 2 K — h.
XLIII. Das mittelsteirische Erdbeben vom 22. Jänner 1912, von Dr. Franz Heritsch — K 80 h.
XLIV. Die zeitliche Verteilung der in den Jahren 1897 bis 1907 in den öster- reichischen Alpen- und Karstländern gefühlten Erdbeben (ein Beitrag zum Studium der sekundär auslösenden Ursachen der Erdbeben) (II. Mitteilung), von Prof. V. Conrad — K 80 h.
XLV. Seismische Registrierungen in Wien, k. k. Zentralanstalt für Meteorologie und Geodynamik, im Jahre 1911, von Dr. Rudolf Schneider . . 1 K 30 h.
XLVI. Über die Bestimmung von Azimut und scheinbarem Emergenzwinkel longi- tudinaler Erdbebenwellen, von H. Benndorf — K 60 h.

Seismische Registrierungen in Wien, k. k. Zentralanstalt für Meteorologie und Geodynamik, im Jahre 1912

von

Dr. Rudolf Schneider,

Adjunkten der k. k. Zentralanstalt für Meteorologie und Geodynamik.

(Mit 1 Textfigur.)

(Vorgelegt in der Sitzung am 8. Jänner 1914.)

Dem vorliegenden vierten¹ mikroseismischen Jahresberichte der k. k. Zentralanstalt für Meteorologie und Geodynamik dienten als Grundlage die wöchentlichen Erdbebenberichte, an deren Ausmessung auch Herr Assistent Dr. M. Kofler teilnahm. Ausgemessen wurden regelmäßig die Aufzeichnungen des astatischen Pendelseismometers nach Wiechert (Masse 1000 kg) und des großen Wiechert'schen Vertikalpendel, Masse 1300 kg). Besonders die Einsätze der ersten Vorfächer wurden den Aufzeichnungen des letzteren entnommen.

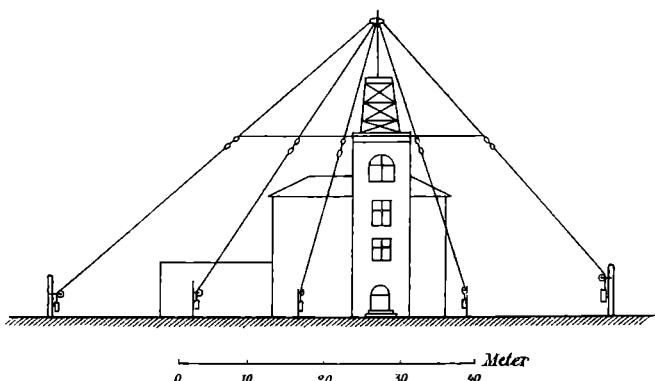
Über die Aufstellung der Instrumente und die Einrichtung der Station siehe ihre Beschreibung² und die vorhergehenden Jahrgänge dieser Berichte. An dieser Stelle sei nur erwähnt, daß im Frühjahr 1913 an der Zentralanstalt eine Empfangsstation für Funkentelegraphie eingerichtet wurde und es werden

¹ Die Jahrgänge 1909 bis 1911 erschienen ebenfalls in den Mitteilungen der Erdbeben-Kommission der Kaiserl. Akademie der Wissenschaften in Wien, und zwar der Jahresbericht 1909, Neue Folge, Nr. XXXIX, Jahr 1910, Neue Folge, Nr. XLI, und 1911, Neue Folge, Nr. XLV.

² V. Conrad, Beschreibung des seismischen Observatoriums der k. k. Zentralanstalt für Meteorologie und Geodynamik. Mitteilungen der Erdbeben-Kommission der Kaiserl. Akademie der Wissenschaften, Neue Folge, Nr. XXXIII, Wien 1909.

die Normaluhren regelmäßig mit dem Pariser Zeitzeichen verglichen. Das neue, seit Juli 1913 eingeführte internationale Schema der Signale bewährt sich sehr gut.

Als Luftdraht für die Empfangsstation wurde eine Schirmantenne gewählt. Diese strahlt in neun Drahtzügen von einem das Anemometergerüst noch um 8 m überragenden Maste aus. Ihre Gesamthöhe erreicht 40 m über dem Erdboden (siehe nachstehende Skizze). Die Kapazität beträgt rund 1250 cm. Die Empfangsintensität der Pariser Zeitzeichen (Entfernung von Paris zirka 1050 km) ist auch tagsüber vollkommen ausreichend; einigermaßen störend — weniger bei der Aufnahme



der Zeitsignale als vielmehr beim Abhören des Meteortelegrammes — wirkt die Funkenbildung an der in zirka 35 m Entfernung vorüberföhrenden elektrischen Straßenbahn. Ganz besonders tritt dieser Übelstand bei den mit voller Stromstärke berganfahrenden Wagen zutage. Als Empfangsapparat dient gewöhnlich ein Telefunkenhörempfänger Type E5 mit Zwischenkreis. Doch wurden auch mit einfachen und billigen Apparaten eigener Konstruktion erfolgreiche Versuche gemacht.

Im ganzen konnten im Jahre 1912 in Wien 199 Aufzeichnungen ausgemessen werden. Bei der ungünstigen Aufstellung der Seismographen wurden schwache Diagramme, besonders diejenige der Fernbeben, durch Wind- und Wagenstörungen verdeckt. Nach der Intensität der Aufzeichnung (0 sehr schwach,

I merklich, II auffallend und III sehr stark) gruppiert, ergeben die Seismogramme des Jahres 1912 im Vergleich zu den Aufzeichnungen der letzten drei Jahre folgende Verteilung:

Zahl der Bebenaufzeichnungen:

Jahr	Intensität				Zusammen
	0	I	II	III	
1909	48	65	32	10	155
1910	103	75	20	5	203
1911	104	64	16	7	190
1912	113	70	10	6	199

Auf die einzelnen Monate verteilen sich die Aufzeichnungen nach ihrer Intensität wie folgt:

Intensität	Jänner	Februar	März	April	Mai	Juni	Juli	August	September	Oktober	November	Dezember	Jahr
0.....	6	8	6	9	14	22	17	7	10	1	7	6	113
I.....	4	6	5	10	7	10	3	9	3	7	3	3	70
II.....	2	1	0	0	1	1	1	1	1	0	1	1	10
III.....	1	0	0	0	2	0	1	1	1	0	0	0	6
Zusammen..	13	15	11	19	24	33	22	18	15	8	11	10	199

In den Sommermonaten waren also die Aufzeichnungen häufiger als im Winter. Fast den gleichen jährlichen Gang zeigen auch die seismischen Aufzeichnungen in Graz¹ und er kommt auch im Mittel aus den letzten vier Jahren in Wien (siehe folgende Zusammenstellung) gut zum Ausdruck.

¹ Dr. N. Stückler, Sechster Bericht über seismische Registrierungen in Graz im Jahre 1912. Graz 1913.

Verteilung der Bebenaufzeichnungen in Wien auf
einzelne Monate der Jahre 1909 bis 1912.

Jahr	Jänner	Februar	März	April	Mai	Juni	Juli	August	September	Oktober	November	Dezember	Jahr
1909	8	15	11	19	12	11	16	12	17	16	9	9	155
1910	18	14	9	11	24	24	21	23	18	10	12	19	203
1911	16	9	15	20	13	10	19	20	19	22	12	15	190
1912	13	15	11	19	24	33	22	18	15	8	11	10	199

Mittel

13·8	13·2	11·5	17·2	18·2	19·5	19·5	18·2	17·2	14·0	11·0	13·2	187
7·4	7·1	6·2*	9·2	9·8	10·4	10·4	9·8	9·2	7·5	5·9	7·1	100

In Prozent der Jahressumme

Die folgende tabellarische Zusammenstellung ist in gleicher Weise angeordnet wie im Jahresberichte 1911. Die Abkürzungen und Bezeichnungen entsprechen dem von der Internationalen seismologischen Konferenz in Manchester 1911 aufgestellten Schema.

Die Epizentralentfernungen sind meistens nach der numerischen Tafel bestimmt worden, welche nach den von E. Wiechert und K. Zoepritz berechneten Laufzeiten von C. Zeissig zusammengestellt und auf Antrag des Fürsten B. Galitzin von der Kaiserl. Russischen Akademie der Wissenschaften herausgegeben wurde. Bei Nahbeben wurde die Herddistanz nach der Formel von Omori: $\Delta km = 6 \cdot 86 y + 8 \cdot 1$, wobei y die Dauer der beiden Vorphasen in Sekunden bedeutet, berechnet.

Die Angaben über die Epizentra der Erdbeben wurden meistens den wöchentlichen Erdbebenberichten der Station Pulkovo (Fürst B. Galitzin) (bezeichnet mit P.) und den Berichten der Station Jugenheim-Bergstraße (J.) des Prof. C. Zeissig entnommen.

Abkürzungen.

Charakter (*Ch*) des Bebens:

O = sehr schwach;

I = merklich;

II = auffallend;

III = sehr stark;

d = *domesticus* (*terrae motus*), Ortsbeben;

v = *vicinus*, Nahbeben, Herddistanz $< 1000 \text{ km}$;

r = *remotus*, Fernbeben, Herddistanz 1000 bis 5000 *km*;

u = *ultimo remotus*, sehr fernes Beben, Herddistanz $> 5000 \text{ km}$.

Phasen (*Ph*):

i = impetus, scharfer Einsatz;

e = emersio, allmähliches Auftauchen;

P = erster Vorläufer (*undae primae*);

S = zweiter Vorläufer (*undae secundae*);

R_n = *n*-mal reflektierte Wellen;

L = lange Wellen (*undae longae*);

M₁, M₂, ... = die aufeinanderfolgenden Momente der Maxima
der Bodenbewegung, korrigiert wegen der Ver-
spätung der Instrumente;

C₁, C₂, ... = die der Hauptphase folgenden sekundären Maxima,
Nachläufer (*cauda*);

F = Ende (*finis*);

A_N = Amplitude der Nord-Südkomponente der wahren
Bodenbewegung in μ von der Ruhelage (+ nach N);

A_E = Amplitude der Ost-Westkomponente der wahren
Bodenbewegung in μ von der Ruhelage (+ nach E);

A_Z = Amplitude der Vertikalkomponente der wahren
Bodenbewegung in μ von der Ruhelage (+ nach
dem Zenith);

Mi. U = mikroseismische Unruhe.

Zeit und Maß.

Zeit = mittlere Greenwicher, von Mitternacht bis Mitternacht,
gezählt von 0^h bis 24^h, Zeiten korrigiert;

Δ = Epizentralentfernung in Kilometern;
 μ = Mikron = $0 \cdot 001 \text{ mm}$;

In () gesetzte oder mit ? versehene Angaben sind unsicher.

Lage der Station.

$\varphi = 48^\circ 14' 9''$ n. Br., $\lambda = 16^\circ 21' 7''$ östl. v. Gr., Seehöhe
198 m.

Untergrund: Löß, darunter Lehm.

Resultate der Eichungen der Seismometer im Jahre 1912.

Monat	Tag	Astatiches Pendel nach Wiechert (Masse = 1000 kg)								Vertikalseismometer nach Wiechert (Masse = 1300 kg)				Bemerkungen	
		Nord-Südkomponente				Ost-Westkomponente									
		T_0 sec	V	$\epsilon : 1$	$\frac{r}{T_0^2}$	T_0 sec	V	$\epsilon : 1$	$\frac{r}{T_0^2}$	T_0 sec	V	$\epsilon : 1$	$\frac{r}{T_0^2}$		
Februar	22.	12·6	194	6	0·002	10·8	191	5	0·002	2·5	190	4	0·015		
Juli	15.	14·9*	167	(10)	0·002	11·1	182	7	0·003	2·5	186	5	0·01	* T_0 herabgesetzt; * vor der Änderung	
Juli	15.	9·2**	167	4	0·002	--	--	--	--	--	--	--	--	** nach der Änderung	
August	13.	10·3	156	4	0·0018	11·4	168	6	0·003	2·4	192	4	0·01		
November ..	7.	9·4	154	4	0·002	11·1	160	6	0·003	2·4	180	5	0·009		
Dezember ..	13.	10·1	166	4	0·0017	10·8	173	5	0·003	--	--	--	--		

Nr.	Datum	Ch	Ph	Zeit (Greenwich)			T s	Amplitude μ			Herd- distanz	Bemerkungen
				h	m	s		N	E	Z		
Jänner.												
1	4.	II u	ePZ	15	59	07	—	—	—	—	8650	Herd: Aleuten (J.), $\lambda = 175^\circ$ E, $\varphi = 49^\circ 5$ N (P.). Starke Wind- störungen.
			eSN	16	09	—	—	—	—	—		
			eLN	26	—	—	—	—	—	—		
			MN	41	—	—	18	35	—	—		
			M_1E	36	—	—	18	—	25	—		
			M_2E	40·5	—	—	18	—	30	—		
			F	17 $\frac{1}{2}$	—	—	—	—	—	—		
2	17.	0 v	ePZ	4	42·4	—	—	—	—	—	—	In den Aufzeichnungen der Horizontalkomponente durch Boden- unruhe verdeckt.
3	17.	0 v	ePZ	5	14·6	—	—	—	—	—	—	
4	20.	I u	$ePZ?$	4	18	40	—	—	—	—	—	Herd südöstlich von Japan ($\varphi = 26^\circ 5$ N, $\lambda = 137^\circ 5$ E. n. P.).
			ePZ	20	32	—	—	—	—	—		
			(eSN)	30	44	—	—	—	—	—		
			eLN	55	—	—	—	—	—	—		
			MN	5	10	—	25	20	—	—		
			F	5 $\frac{1}{2}$	—	—	—	—	—	—		

5	22.	0 <i>v</i>	<i>ePZ?</i>	20	08	36	—	—	—	—	—	Minimale Spur. Im Murtal, Steiermark, gefühlt.
			<i>MN</i>	08·8	—							
			<i>F</i>	9·4	—							
6	24.	III <i>r</i>	<i>iPZ</i>	16	25	48	—	—	—	—	—	Herd: Insel Zante und Umgebung.
			<i>iSN</i>	28	07		—	—	—	—	—	
			<i>iSE</i>	27	52		—	—	—	—	—	
			<i>iLN</i>	28	44		—	—	—	—	—	
			<i>MN</i>	30·7	—	11	175	—	—	—	—	
			<i>ME</i>	30·7	—	8	—	195	—	—	—	
			<i>MZ</i>	30·7	—		—	—	—	—	—	
			<i>F</i>	17 $\frac{3}{4}$	—		—	—	—	—	—	
7	25.	0	<i>eLN</i>	1	54	—	—	—	—	—	—	Spur, Epizentrum wie oben.
			<i>F</i>	2	00	—	—	—	—	—	—	
8	25.	I <i>r</i>	<i>ePZ</i>	6	07·9	—	—	—	—	—	—	Epizentrum wie oben.
			<i>eLN</i>	12·0	—		—	—	—	—	—	
			<i>ME</i>	13·1	—	12	—	—	—	—	—	
			<i>F</i>	30	—		—	—	—	—	—	
9	25.	I <i>r</i>	<i>ePZ</i>	19	55	27	—	—	—	—	—	Maximum vielleicht schon etwas früher in der Stundenlücke.
			<i>eSN, E</i>	57·1	—		—	—	—	—	—	
			<i>eLN, E</i>	58·5	—		—	—	—	—	—	
			<i>MN</i>	20	0·4	—	6	155	—	—	—	
			<i>F</i>	20 $\frac{1}{2}$	—		—	—	—	—	—	

Nr.	Datum	Ch	Ph	Zeit (Greenwich)			T s	Amplitude μ			Herd- distanz	Bemerkungen
				h	m	s		N	E	Z		
10	Jänner 26.	II u	<i>iPZ</i>	14	49	30	—	—	—	—	6350	<i>F</i> geht in das folgende Beben über. Herd: Nordtibet (J.).
			<i>iSE</i>	57	25	—	—	—	—	—		
			<i>eL</i>	15	8-9	—	—	—	—	—		
			<i>MN</i>	15·0	—	—	15	40	—	—		
			<i>ME</i>	14·8	—	—	13	—	26	—		
			<i>MZ</i>	14·8	—	—	20	—	—	85		
11	26.	I	<i>ePZ</i>	15	29·8	—	—	—	—	—	—	
			<i>eL</i>	33·1	—	—	—	—	—	—		
			<i>ME</i>	34	—	—	8	—	10	—		
			<i>F</i>	ca.16	—	—	—	—	—	—		
12	31.	0 u	<i>ePE</i>	12	50	08	—	—	—	—	5920	Herd nahe der Insel St. Paul (Atlan- tischer Ozean, J.). Diagramm ge- stört.
			<i>eSE</i>	57	40	—	—	—	—	—		
			<i>eLE</i>	13	11	—	—	—	—	—		
			<i>ME</i>	24	—	—	—	—	—	—		
			<i>F</i>	13 $\frac{3}{4}$	—	—	—	—	—	—		

Februar.

14	5.	I (r)	eL	2	08	—	—	—	—	—	—	
			ME		08·6	—	—	—	(5)	—	—	
			F	21/4	—	—	—	—	—	—	—	
15	10.	I (r)	eL	19	01·7	—	—	—	—	—	—	
			ME		02·1	—	11	—	5	—	—	
			F		10	—	—	—	—	—	—	
16	13.	II r	iPz	8	05	45	--	—	—	—	—	
			iS?N		07	(25)	—	—	—	—	—	
			iSE		—	(42)	—	—	—	—	—	
			iLN		08	12	—	—	—	—	—	
			iLE		—	15	—	—	—	—	—	
			MN		09·5	—	7	60	—	—	—	
			ME		08·9	—	8	—	90	—	—	
			F	9	—	—	--	—	--	—	—	
												Starke Bodenunruhe störend.
												Herd: Albanien (J.) (n. P.: $\varphi = 41^{\circ}5'$ N, $\lambda = 21^{\circ}2'$ E.)

Nr.	Datum	<i>Ch</i>	<i>Ph</i>	Zeit (Greenwich)			<i>T</i> s	Amplitude μ			Herd- distanz	Bemerkungen
				h	m	s		<i>N</i>	<i>E</i>	<i>Z</i>		
17	Febr. 13.	0 u	<i>cLN</i> <i>MN</i> <i>F</i>	16	13	—	—	—	—	—	—	Herd: Nördl. Luzon (Philippinen).
					18-20	—	12	1-2	—	—	—	
				ca. 50	—	—	—	—	—	—	—	
Zwischen 10 ^h und 11 ^h ein Fernbeben, durch Arbeiten am Apparat gestört.												
18	19.	·0	<i>cLN</i> <i>F</i>	11	12	—	—	—	—	—	—	Spur.
					25	—	—	—	—	—	—	
19	20.	1 u	<i>iPZ</i> <i>cLN</i> <i>MN</i> <i>ME</i> <i>F</i>	13	14	58	—	—	—	—	—	—
					46·6	—	—	—	—	—	—	
					54·5	—	15	3-4	—	—	—	
					48·8	—	16	—	4	—	—	
				14 ¹ / ₄	—	—	—	—	—	—	—	
20	20.	0 r?	<i>cLN</i> <i>MN</i> <i>F</i>	5	41·3	—	—	—	—	—	—	—
					41·8	—	11	2	—	—	—	
					45	—	—	—	—	—	—	

Nr.	Datum	<i>Ch</i>	<i>Ph</i>	Zeit (Greenwich)			<i>T</i> s	Amplitude μ			Herd- distanz	Bemerkungen
				h	m	s		<i>N</i>	<i>E</i>	<i>Z</i>		
26	Febr. 26.	0	<i>ePZ</i>	20	56	57	—	—	—	—	—	Spur.
			<i>MN</i>		58·1	—	—	—	—	—	—	
			<i>F</i>	21	03	—	—	—	—	—	—	
27	27.	0?	<i>ePZ</i>	0	38·3	—	—	—	—	—	—	—
			<i>eLN</i>		47	—	—	—	—	—	—	
			<i>F</i>	1	—	—	—	—	—	—	—	
28	29.	0	<i>iPZ</i>	3	33	52	—	—	—	—	—	Deutlicher Z-Einsatz.
			<i>FZ</i>		55	—	—	—	—	—	—	
März.												
29	3.	0	<i>ePZ</i>	0	15	36	—	—	—	—	—	Wahrscheinlich <i>P</i> eines Fernbebens.
30	5.	Ir	<i>ePZ</i>	1	27	38	—	—	—	—	—	(1340)
			<i>eS</i>		30·0?	—	—	—	—	—	—	
			<i>eLN</i>		31·1	—	—	✓ 3	—	—	—	
			<i>F</i>		50	—	—	—	—	—	—	

31	8.	Or?	<i>ez</i>	4	3·3	—	—	—	—	—	—	—
			<i>ME</i>		4·8	—	10	—	2—3	—	—	—
32	8.	Ou	<i>iPz</i>	14	55	59	—	—	—	—	—	Hauptphase wenig ausgeprägt. Herd: Zentralafrika.
			<i>eLE</i>	15	15	—	•	—	—	—	—	
			<i>iN</i>	15	7·1	—	—	—	—	—	—	
			<i>F</i>	16	—	—	—	—	—	—	—	
33	10.	O	<i>iPN</i>	11	20	47	—	—	—	—	—	Gefühlt in Triest.
			<i>F</i>	25	—	—	—	—	—	—	—	
34	11.	Iu	<i>ePz</i>	10	30	1	—	—	—	—	—	9250
			<i>eSN</i>	40·4	—	—	—	—	—	—	—	Gefühlt auf Alaska.
			<i>eSE</i>	40·5	—	—	—	—	—	—	—	
			<i>eL</i>	11	00	—	—	—	—	—	—	
			<i>MN</i>	11	5·5	—	14	12	—	—	—	
			<i>ME</i>		0·7	—	14	—	8	—	—	
			<i>F</i>	11 ¹ / ₂	—	—	—	—	—	—	—	
35	14.	Ir?	<i>eLN</i>	14	18·4	—	—	—	—	—	—	
			<i>eLE</i>		18·1	—	—	—	—	—	—	
			<i>MN</i>		18·7	—	10	3	—	—	—	
			<i>ME</i>		18·9	—	11	—	6	—	—	
			<i>F</i>		25	—	—	—	—	—	—	Eipizentrum zwischen Zante und Kephalonia (J.).

Nr.	Datum	Ch	Ph	Zeit (Greenwich)			T s	Amplitude μ			Herd- distanz	Bemerkungen
				h	m	s		N	E	Z		
36	März 17.	Ir	<i>ePZ</i>	23	48	10±2	—	—	—	—	—	Minutenlücke. Herd wie bei Nr. 35.
			<i>eLN</i>		51·8	—	—	—	—	—	—	
			<i>ME</i>		52·5	—	(11)	—	(8)	—	—	
			<i>F</i>	24	—	—	—	—	—	—	—	
37	19.	0u	<i>eLN</i>	15	20	—	—	—	—	—	—	Schwach, durch Bodenunruhe gestört.
			<i>F</i>		40	—	—	—	—	—	—	
38	22.	I	<i>eZ</i>	18	45	(26)	—	—	—	—	—	—
			<i>eL</i>		46·1	—	—	—	—	—	—	
			<i>ME</i>		48·0	—	7	—	7	—	—	
			<i>F</i>	19	—	—	—	—	—	—	—	
39	25.	0u	<i>i₁PZ</i>	5	8	29	—	—	—	—	—	—
			<i>i₂PZ</i>		8	35	—	—	—	—	—	
			(<i>eLE</i>)		(57)	—	—	—	—	—	—	
			<i>F</i>	6	—	—	—	—	—	—	—	

April.

R. Schneider.

Nr.	Datum	Ch	Ph	Zeit (Greenwich)			T s	Amplitude μ			Herd- distanz	Bemerkungen
				h	m	s		N	E	Z		
45	April 14.	0 u	i PZ	22	51	45	—	—	—	—	—	Wenig ausgesprochenes Maximum.
			e L	23·6	—	—	—	—	—	—		
			F	24	—	—	—	—	—	—		
46	15.	0 u	e LE	17	07	—	—	—	—	—	—	—
			F		20	—	—	—	—	—		
47	15.	I r	e PZ	23	28	55	—	—	—	—	—	—
			e LE	31·7	—	—	—	—	—	—		
			ME	33·4	—	—	(10)	—	(6)	—		
			F	23 ³ / ₄	—	—	—	—	—	—		
48	17.	I u	e PZ	4	03	03	—	—	—	—	10000	—
			i Z	06	46	—	—	—	—	—		
			e SE	14·0	—	—	—	—	—	—		
			e L	32	—	—	—	—	—	—		
			MN	49—50	—	—	17	3	—	—		
			ME	48—49	—	—	17	—	3—4	—		
			F	nach 5 ^h			—	—	—	—		

49	19.	Or?	eE F	0 09	05 —	— —							Spur.
50	19.	Ir	ePZ eL ME F	0 26 27·7 50	22 — — —	55 — — —							Epizentrum n. P.: $\varphi = 39^{\circ}5$ N, $\lambda = 20^{\circ}5$ E.
51	19.	Ir	eP?Z eL ME F	1 0	0·1? 03·1	56? —							
52	20.	In	ePZ eS eL MN ME F	1 2 27-28 40 43 3½	50 02·0 — — — —	59 — — — — —						10000	
53	21.	Or?	eE F	1 35	30·7 —	— <td></td> <td></td> <td></td> <td></td> <td></td> <td></td> <td>Spur.</td>							Spur.
54	21.	Ir	ePZ eLE ME F	2 3 3 vor 3½h	56 59·3 01·8 vor 3½h	31 — — —							

Nr.	Datum	Ch	Ph	Zeit (Greenwich)			T s	Amplitude μ			Herd- distanz	Bemerkungen
				h	m	s		N	E	Z		
55	April 23.	0?	<i>ePZ</i>	16	53	56	—	—	—	—	—	
			<i>MN</i>		55·4	—	—	—	—	—		
			<i>F</i>	17	—	—	—	—	—	—		
56	23.	0u	<i>cPZ</i>	21	55	13	—	—	—	—	—	
			<i>ME</i>	22	39-40	—	14	—	—	1		
			<i>F</i>	23 $\frac{1}{4}$	—	—	—	—	—	—		
57	25.	I?	<i>iPZ</i>	10	35	09	—	—	—	—	7600	Herd: Buchara. $\varphi = 40^\circ 5' N$, $\lambda = 70^\circ E$ (n. P.).
			<i>iPE</i>		35	12	—	—	—	—		
			<i>e(N)E</i>		44·1	—	—	—	—	—		
			<i>F</i>	11 $\frac{1}{4}$	—	—	—	—	—	—		
58	29.	0?	<i>eE</i>	16	35·1	—	—	—	—	—	—	Spur.
			<i>F</i>		45	—	—	—	—	—		

Mai.

59	3.	0?	<i>iLE</i> <i>F</i>	20 20 $\frac{1}{4}$	— —	— —	— —	— —	— —	— —	Spur.	
60	4.	0v	<i>ePZ</i> <i>iLZ</i> <i>ME</i> <i>MN</i> <i>F</i>	16 — 51·1 51·1 55	50 — — — —	26 58 — — —	— — 1—2 1—2 —	— — — 3—4 —	— — — — —	— —	Spur.	
61	5.	0?	<i>eZ</i> <i>F</i>	15 —	10 12	37 —	— —	— —	— —	— —	— —	Spur.
62	6.	IIIr	<i>PZ</i> <i>iPZ</i> <i>iSN</i> <i>iSE</i> <i>eLN</i> <i>eLE</i> <i>eLZ</i> <i>ME</i> <i>MZ</i> <i>M₁N</i> <i>M₂N</i> <i>F</i>	19 — 09 — 12 13 14 16·4 17·2 17·4 18·7 21	05 — 54 54 — — — — — — — —	20* 23 54 54 — — — 14 14 12 11 —	— — — — — — — — — — — —	— — — — — — — — — — — —	— — — — — — — — — — — —	— — — — — — — — — — — —	Eventuell schon 2 ^s früher in der Minutenlücke.	
										2870	Herd: Südküste von Island (J.).	

Nr.	Datum	Ch	Ph	Zeit (Greenwich)			T s	Amplitude μ			Herd- distanz	Bemerkungen
				h	m	s		N	E	Z		
63	Mai 9.	0v	iN	23	05	04	—	—	—	—	—	Herd: Umgebung von Innsbruck.
			iN		05	08	—	—	—	—	—	
			iZ		05	09	—	—	—	—	—	
			F		07·9	—	—	—	—	—	—	
64	11.	Iu	iPz	17	38	04	—	—	—	—	—	Herd: Indischer Ozean, westlich von den Chagosinseln (J.).
			iPe		—	04	—	—	—	—	—	
			iPn		—	05	—	—	—	—	—	
			e(S)E		47·2	—	—	—	—	—	—	
			e(S)N		47·5	—	—	—	—	—	—	
			e(L)E		59·8	—	—	—	—	—	—	
			eLN	18	00	—	—	—	—	—	—	
			MN		14—15	—	16	4—5	—	—	—	(7850)
			ME		15 $\frac{1}{2}$	—	16	—	10	—	—	
			F	18 $\frac{3}{4}$	—	—	—	—	—	—	—	
65	13.	0u	ePz	19	47	04	—	—	—	—	—	7950
			eSN, E		56·4	—	—	—	—	—	—	
			F	20 $\frac{1}{1}$	—	—	—	—	—	—	—	

66	15.	Iu	<i>iPz</i> <i>eS?</i> <i>eL</i> <i>F</i>	0 (34·7) 48 $21\frac{1}{4}$	23 — — —	54 — — —								Epizentrum n. P.: $\varphi = 27^{\circ}7' N$, $\lambda = 143^{\circ}4' E.$
67	15.	Or?	<i>eLN</i> <i>F</i>	21 $15\frac{3}{4}$	8·8 12	— —								Spur.
68	16.	Ir	<i>iPz</i> <i>eSE</i> <i>eL</i> <i>MN</i> <i>F</i>	15 11 18 20·7 $15\frac{3}{4}$	05 44 — —	19 — — 10							4700	
														Herd: Atlantischer Ozean süd-westlich von den Azoren (J.).
69	17.	Ir	<i>ePz</i> <i>iSE</i> <i>eLN</i> <i>MN</i> <i>F</i>	16 45 46·6 49·5 nach 17 ^h	42 18 — —	21 — — 30							1710	
														Herd: Kreta. Starke Windstörungen.
70	18.	0u?	<i>eLE</i> <i>F</i>	23 $21\frac{1}{4}$	37 44	— —								Einige lange Wellen.

Nr.	Datum	<i>Ch</i>	<i>Ph</i>	Zeit (Greenwich)			<i>T</i> s	Amplitude p.			Herd- distanz	Bemerkungen
				h	m	s		<i>N</i>	<i>E</i>	<i>Z</i>		
71	Mai 21.	Iu	<i>PZ</i> *	8	40	5 ± 1	—	—	—	—	(9100)	* Minutenlücke.
			<i>eSE</i>	50 ¹ / ₃	—	—	—	—	—	—		Herd: Burma, Britisch-Indien (J.).
			<i>eL</i>	9	6—7	—	—	—	—	—		
			<i>MN</i>	10	—	—	17	16	—	—		
			<i>ME</i>	10	—	—	18	—	10	—		
			<i>F</i>	10	—	—	—	—	—	—		
72	21.	0n	<i>e</i>	10	25	—	—	—	—	—	—	Schwaches Fernbeben.
			<i>F</i>	11	—	—	—	—	—	—	—	
73	22.	0n	<i>eL</i>	13	42	—	—	—	—	—	—	Spur.
			<i>M</i>	45—46		—	—	—	—	—	—	
			<i>F</i>	14	—	—	—	—	—	—	—	
74	22.	0r	<i>iPz</i>	23	15	44	—	—	—	—	4200	Herd: Russisch-Turkestan (J.).
			<i>cSN</i>	21·7		—	—	—	—	—		
			<i>eLN</i>	43		—	—	—	—	—		
			<i>F</i>	24	—	—	—	—	—	—		

75	23.	IIIu	<i>PZ</i>	2	35	03±1*	—	—	—	—	7600	* Minutenlücke. Herd: Oberburma (J.).
			<i>iSE</i>		44	03±1*	—	—	—	—		
			<i>eL</i>		56	—	—	—	—	—		
			<i>MN</i>	3	05	—	19	>575 ¹	—	—		
			<i>F</i>	$5\frac{3}{4}$	—	—	—	—	—	—		¹ Das Pendel schlägt an die Arretierschrauben an.
76	25.	0	<i>iPZ</i>	15	58	35	—	—	—	—	9000	
			<i>eSE</i>	16	08·8	—	—	—	—	—		* Wahrscheinlich ein selbständiges Beben. Windstörung.
			<i>eL*</i>		27	—	—	—	—	—		
			<i>F</i>	$16\frac{3}{4}$	—	—	—	—	—	—		
77	25	IIv	<i>iPZ</i>	18	03	42	—	—	—	—	810	
			<i>iSN</i>		05	10	—	—	—	—		
			<i>iLN</i>		05	44	—	—	—	—		
			<i>iLE</i>		05	47	—	—	—	—		Herd: nördliches Rumänien.
			<i>MN</i>		$07\frac{3}{4}$	—	(9—10)	65	—	—		
			<i>ME</i>		$07\frac{1}{2}$	—	(10)	—	55	—		
			<i>F</i>	$18\frac{1}{2}$	—	—	—	—	—	—		
78	25.	0r?	<i>ePZ</i>	20	21·7	—	—	—	—	—		Spur.
			<i>F</i>		25	—	—	—	—	—		
79	25.	0r?	<i>ePZ</i>	21	12·4	—	—	—	—	—		Stark gestört.
			<i>F</i>		25	—	—	—	—	—		

Nr.	Datum	Ch	Ph	Zeit (Greenwich)			T s	Amplitude μ			Herd- distanz	Bemerkungen
				h	m	s		N	E	Z		
80	Mai 28.	I u	c PZ	13	02	7	—	—	—	—	—	—
			e L	35	—	—	—	—	—	—	—	—
			M N	48 $\frac{1}{2}$	—	—	18	18	—	—	—	—
			M E	49	—	—	20	—	13	—	—	—
			F	14	30	—	—	—	—	—	—	—
81	30.	0 u	i PZ	13	07	43	—	—	—	—	—	Keine Hauptphase.
			i S N		17	36	—	—	—	—	—	
82	31.	I u	i PZ	20	37	43	—	—	—	—	—	* Einige größere Wellen, vielleicht ein selbständiges r-Beben.
			e*	—	—	—	—	—	—	—	—	
			e L E	21	09	—	—	—	—	—	—	
			e L N	09·4	—	—	—	—	—	—	—	
			M N	14·5	—	—	19	5	—	—	—	
			F	30	—	—	—	—	—	—	—	

Juni.

Nr.	Datum	Ch	Ph	Zeit (Greenwich)			T s	Amplitude μ			Herd- distanz	Bemerkungen
				h	m	s		N	E	Z		
90	Juni 7.	0	iNZ	7	21	43	—	—	—	—	—	Explosion von 1500 q Pulver bei Wöllersdorf, 45 km südlich von der Station.
			MZ		—	46	2	—	10	—	—	
91	7.	I u	ePZ	10	07	22	—	—	—	—	9400	Herd: Alaska (J.).
			eSE		17	8	—	—	—	—		
			ME	52	—		14	—	11	—		
			F	12	—	—	—	—	—	—		
			ePZ	18	36·6	—	—	—	—	—		
92	7.	I u	eS	45·8	—		—	—	—	—	—	—
			eL	19	08	—	—	—	—	—		
			ME	22 $\frac{1}{2}$	—		13	—	8	—		
			F	20 $\frac{1}{4}$	—	—	—	—	—	—		
			ePZ	13	02	53	—	—	—	—		
93	7.	0	ePZ				—	—	—	—	—	Es folgen 1 bis 2 Beben, welche sich teilweise decken und eine Phasen- einteilung nicht gestatten.
94	8.	0 u	eL	3	35	—	—	—	—	—	—	
			F	4	10	—	—	—	—	—	—	—

Nr.	Datum	Ch	Ph	Zeit (Greenwich)			T s	Amplitude μ			Herd- distanz	Bemerkungen
				h	m	s		N	E	Z		
102	Juni 10.	I u	ePZ	16	17	40	—	—	—	—	8300	Herd: Alaska (J.).
			eSN	27·3	—	—	—	—	—	—		
			eL	41	—	—	—	—	—	—		
			M ₁ N	55·5	—	—	16	22	—	—		
			M ₂ N	17	04·4	—	14	23	—	—		
			M ₁ E	16	56	—	19	—	28	—		
			M ₂ E	17	04 $\frac{1}{2}$	—	13	—	28	—		
			F	nach 18 ^h			—	—	—	—		
103	12.	0	ePZ	7	16·8?	—	—	—	—	—	—	—
			eLN	(43)	—	—	—	—	—	—	—	—
			F	8 $\frac{1}{2}$	—	—	—	—	—	—	—	—
104	12.	I u	ePZ	12	56	20	—	—	—	—	(9300)	Südmexiko (J.).
			eSE	13	06·7	—	—	—	—	—	—	—
			eL	25 $\frac{1}{2}$	—	—	—	—	—	—	—	—
			MN	33 $\frac{1}{2}$	—	—	19	15	—	—	—	—
			ME	36	—	—	19	—	30	—	—	—
			F	14 $\frac{1}{2}$	--	—	—	—	—	—	—	—

105	12.	<i>0u</i>	<i>eL</i> <i>F</i>	15	30	—	—	—	—	Lange Wellen.
					40					
106	13.	<i>0r</i>	<i>eN</i> <i>F</i>	9	05	—	—	—	—	Spur.
					08					
107	14.	<i>0u</i>	<i>e</i> <i>F</i>	16	49	—	—	—	—	
				17	—					
108	15.	0?	<i>ePz</i> <i>F</i>	22	57	55	—	—	—	Kurze Wellen.
				23	03					
109	16.	0	<i>ePz</i> <i>eL</i> <i>F</i>	18	33·9 (44)	—	—	—	—	
				nach 19 ^h						
110	17.	I <i>u</i>	<i>ePN</i> <i>eSN</i> <i>eLN</i> <i>MN</i> <i>F</i>	11	29	—	—	—	—	
					38					
					55					
					12	09	—	11	4	
					12 $\frac{1}{2}$	—	—	—	—	
111	18.	II <i>u</i>	<i>ePz</i> <i>eSE</i> <i>eLN</i> <i>MN</i> <i>ME</i> <i>F</i>	12	08·2 18 $\frac{1}{4}$	—	—	—	—	(8800)
					40					
					58	—	—	16	22	
					52 $\frac{1}{2}$	—	—	20	—	
				nach 14 ^h						

Nr.	Datum	Ch	Ph	Zeit (Greenwich)			T s	Amplitude μ			Herd- distanz	Bemerkungen
				h	m	s		N	E	Z		
112	Junii 19.-20.	0v	ePZ	23	56	34±1*	—	—	—	—	—	* Minutenlücke.
			eLN		59·0	—	—	—	—	—		
			F	0	05	—	—	—	—	—		
113	26.	Iu	iPZ	17	06	25	—	—	—	—	4900	Epizentrum n. P.: $\varphi = 19^{\circ}1$, $\lambda = 56^{\circ}1$ E. Arabien.
			iSE		13	02	—	—	—	—		
			eLN		22	—	—	—	—	—		
			F	nach 18 ^h			—	—	—	—		
114	27.	0u?	eLE	22	16	—	—	—	—	—	—	
			F		23	—	—	—	—	—		
115	29.	Iu	ePZ	8	09·0	—	—	—	—	—	—	
			eSE?		15 $\frac{1}{2}$?	—	—	—	—	—		
			eL		43	—	—	—	—	—		
			MN		52	—	19	9	—	—		
			ME		51 $\frac{1}{2}$	—	21	—	9	—		
			F		9 $\frac{1}{2}$	—	—	—	—	—		

Juli.

116	1.	0r	<i>ePZ</i>	1	09	00											(3000)	
			<i>eL</i>		18	—											—	
			<i>F</i>	1	35	—												
117	1.	0r	<i>eLN</i>	3	43·8	—											—	
			<i>MN</i>		45·3	—		8	2-3									
			<i>ME</i>		45 $\frac{1}{2}$	—		8	—							2		
			<i>F</i>	4	—	—		—	—									
118	2.	0	<i>e*</i>	7	39 $\frac{1}{2}$	—											—	
			<i>F</i>		44	—												
119	7.	IIIu	<i>iPZ</i>	8	08	34											7800	
			<i>iPZ</i>		08	50												
			<i>iSE-</i>		17	44												
			<i>iLE+</i>		25	23												
			<i>eLN</i>		28 $\frac{1}{2}$	—												
			<i>M₁N</i>		31	—		24	105									
			<i>M₂N</i>	9	0 $\frac{1}{2}$	—		13	63									
			<i>ME</i>	8	58 $\frac{1}{2}$	—		13	—							50		
			<i>F</i>		10 $\frac{1}{2}$	—		—	—									

* Von einer Wagenstörung verdeckt,
Spur einer Nahbebenaufzeichnung.

Epizentrum (n. P.): Alaska.
 $\varphi = 63^\circ 3$ N, $\lambda = 157^\circ 4$ W.

Nr.	Datum	Ch	Ph	Zeit (Greenwich)			T s	Amplitude μ			Herd- distanz	Bemerkungen
				h	m	s		N	E	Z		
120	Juli 7.	0?	iPZ	8	36	52	—	—	—	—	—	Deutlicher Einsatz eines neuen Bebens. Die weiteren Phasen sind von dem vorherigen Beben überlagert.
121	7.	0u	ePZ eS?N F	23	01	56	—	—	—	—	—	
				12·9?	—	—	—	—	—	—	—	
				23 $\frac{1}{2}$	—	—	—	—	—	—	—	
122	8.	0u	iPZ eLN F	16	50	41	—	—	—	—	—	Herd nach P.: $\varphi = 19^{\circ}0' N$, $\lambda = 119^{\circ}8' E$ (südlich von der Insel Formosa).
				17	22?	—	—	—	—	—	—	
				vor 18 ^h			—	—	—	—	—	
123	8.	Iu	iPZ eSN eLN MN F	22	04	50	—	—	—	—	7900	Herd: Alaska $\varphi = 63^{\circ}1' N$, $\lambda = 154^{\circ}9' W$ (n. P.).
				14·1	—	—	—	—	—	—		
				(28)	—	—	—	—	—	—		
				29	—	—	14	4	—	—		
				23 $\frac{1}{2}$	—	—	—	—	—	—	—	
124	8.	0	ePZ	22	33	11	—	—	—	—	—	Von Beben Nr. 123 überlagert.

Nr.	Datum	Ch	Ph	Zeit (Greenwich)			T s	Amplitude μ			Herd- distanz	Bemerkungen
				h	m	s		N	E	Z		
132	Juli 24.	Iu	iPz	12	13	08	—	—	—	—	8990	Zerstörendes Beben in Peru.
			iSe	23	17		—	—	—	—		
			iSn	—	17		—	—	—	—		
			eLn	41	—		—	—	—	—		
			M _E	57	—		18	—	15	—		
			F	13 ³ / ₄	—		—	—	—	—		
133	25./26.	IIu	ePz	23	26	20	—	—	—	—	(11190)	
			eN, E	36	03		—	—	—	—		
			eSn	38	08		—	—	—	—		
			eSe	38	09		—	—	—	—		
			eLn	59	—		—	—	—	—		
			M ₁ N	24	6—8	—	40	80	—	—		
			M ₂ N	11	—		21	30	—	—		
			M _E	19 ¹ / ₂	—		21	—	30	—		
			F	1 ¹ / ₄	—		—	—	—	—		

134	26.	0 u	<i>ePz</i>	2	46·9	-	-	-	Minutenlücke.
			<i>eLN</i>	3	27?				
			<i>MN</i>		38				
			<i>F</i>	4 $\frac{1}{4}$	-				
135	26.	0 u	<i>iPz</i>	8	01	03			Epizentrum auf Island.
			<i>eL</i>		40?	-			
			<i>MN</i>		46	-	15	4	
			<i>F</i>	9 $\frac{1}{4}$	-	-	-	-	
136	27.	0 v	<i>ePz</i>	11	26	31+2			Epizentrum auf Island.
			<i>eLN</i>		(29)	-			
			<i>F</i>		32	-			
137	31.	0 r	<i>eN</i>	10	50	-	-		Epizentrum auf Island.
			<i>eL</i>	11	01·5	-	-		
			<i>F</i>	11 $\frac{1}{4}$	-	-	-		

140	6.	Ir	<i>ePZ</i>	18	47	12*			1400?	* Vielleicht schon 5 ^s früher.
			<i>eLE</i>		50·0	—				
			<i>cN</i>		50·1	—				
			<i>eLN</i>		50·8	—				
			<i>ME</i>		52	—	18	—		
			<i>MN</i>		52 ^{1/2}	—	19	10		
			<i>F</i>	19 ^{1/4}	—	—	—	—		
141	6.	Iu	<i>ePZ</i>	21	30	11			8300?	Epizentrum n. P.: $\varphi = 13^{\circ} 2' \text{ N}$, $\lambda = 152^{\circ} 8' \text{ E}$.
			<i>iP_{Z,N,E}</i>		—	22				
			<i>iRE</i>		33	15				
			<i>iRN</i>		—	58				
			<i>eS?E</i>		39·7	—				
			<i>eS?N</i>		39·8	—				
			<i>iE</i>		48	04				
			<i>ME</i>	22	17	—	(29)	—		
			<i>M₁N</i>		21	—	20	15		
			<i>M₂N</i>		24	—	19	15		
			<i>F</i>	23 ^{1/4}	—	—	—	—		

Nr.	Datum	Ch	Ph	Zeit (Greenwich)			T s	Amplitude μ			Herd- distanz	Bemerkungen
				h	m	s		N	E	Z		
142	August 9.	III r	<i>ePZ</i>	1	31	26	—	—	—	—	—	Beim Wiechert'schen Horizontalpendel wurden die Schreibstifte kurz nach <i>iL</i> abgeworfen. Bebenherd: Marmarameer, Dardanellen.
				<i>iN</i>	32	46	—	—	—	—	—	
				<i>iE</i>	—	48	—	—	—	—	—	
				<i>iL?N</i>	34	02	—	—	—	—	—	
				<i>iL?E</i>	—	17	—	—	—	—	—	
				<i>eL?Z</i>	34·9	—	—	—	—	—	—	
				<i>LN</i>	nach 35		(17)	>1100	—	—	—	
				<i>ME</i>	nach 35		(21-25)	—	>1800	—	—	
				<i>M₁Z</i>	39-40	—	(10-12)	—	—	>(2050)	—	
				<i>F</i>	3 ¹ / ₄	—	—	—	—	—	—	
143	10.	0 r	<i>iPZ</i>	1	22	07	—	—	—	—	—	Herd n. P.: Kaukasus.
				<i>eE, N</i>	26·0	—	—	—	—	—	—	
				<i>ME</i>	27·0	—	8	—	3	—	—	
				<i>MN</i>	27·0	—	(5)	(3)	—	—	—	
				<i>F</i>	13 ¹ / ₄	—	—	—	—	—	—	

144	10.	IIr	<i>iPz</i>	9	26	25±1	—	—	—	—	—	Wahrscheinlich derselbe Herd wie Nr. 142.
			<i>iPN</i>	—	—	31	—	—	—	—	—	
			<i>iPE</i>	—	—	30	—	—	—	—	—	
			<i>iS?E</i>	28	—	23	—	—	—	—	—	
			<i>iLN</i>	29	—	15	—	—	—	—	—	
			<i>iLZ</i>	29·1	—	—	—	—	—	—	—	
			<i>iLE</i>	29	—	19	—	—	—	—	—	
			<i>iN</i>	30	—	15	—	—	—	—	—	
			<i>M₁Z</i>	30·3	—	—	3	—	—	—	10	
			<i>M₂Z</i>	30·7	—	—	3	—	—	—	20	
			<i>M₁E</i>	30·3	—	—	8	—	60	—	—	
			<i>M₂E</i>	33	—	—	9	—	80	—	—	
			<i>M₃E</i>	33·8	—	(16)	—	(230)	—	—	—	
			<i>M₁N</i>	31·6	—	—	11	75	—	—	—	
			<i>M₂N</i>	34	—	(9—11)	(75)	—	—	—	—	
			<i>F</i>	10 ¹ / ₂	—	—	—	—	—	—	—	
145	10.	Ir	<i>iPz</i>	18	32	45	—	—	—	—	—	Wahrscheinlich derselbe Herd wie Nr. 142.
			<i>iLZ</i>	35·3	—	—	—	—	—	—	—	
			<i>iLE</i>	35	—	33	—	—	—	—	—	
			<i>iLN</i>	—	—	45	—	—	—	—	—	
			<i>MN</i>	37·7	—	—	11	10	—	—	—	
			<i>ME</i>	37—40	—	(7—8)	—	(15)	—	—	—	
			<i>F</i>	19	—	—	—	—	—	—	—	

Nr.	Datum	Ch	Ph	Zeit (Greenwich)			T s	Amplitude μ			Herd- distanz	Bemerkungen
				h	m	s		N	E	Z		
146	August 17.	II u	<i>i PZ</i>	19	25	38	—	—	—	—	9700	Schon um 19 ^h 45 ^m setzen lange Wellen mit großer Amplitude ein. Die Hauptphase zeigt sehr regelmäßige Wellen. Herd n. P.: $\varphi = 9^{\circ}9\text{ N}$, $\lambda = 124^{\circ}0\text{ E}$ (Philippinen).
			<i>i SE</i>	36	22	—	—	—	—	—		
			<i>i SN</i>	—	24	—	—	—	—	—		
			<i>e N</i>	39	40	—	—	—	—	—		
			<i>e N, E</i>	44·5	—	—	—	—	—	—		
			<i>e L?N</i>	56	—	—	—	—	—	—		
			<i>M₁ N</i>	20	9·5	—	21	160	—	—		
			<i>M₂ N</i>	11	—	—	21	170	—	—		
			<i>M₁ E</i>	19·5	—	19	—	—	110	—		
			<i>M₂ E</i>	20·5	—	18	—	—	100	—		
			<i>M Z</i>	20	—	18—19	—	—	—	90		
			<i>F</i>	22	—	—	—	—	—	—		
147	18.	0 u	<i>c PZ</i>	21	42	24	—	—	—	—	—	
			<i>e LN</i>	22	08	—	—	—	—	—		
			<i>M N</i>	23	—	—	16	2—3	—	—		
			<i>F</i>	22 ^{3/4}	—	—	—	—	—	—		

Nr.	Datum	<i>Ch</i>	<i>Ph</i>	Zeit (Greenwich)			<i>T</i> s	Amplitude μ			Herd- distanz	Bemerkungen
				h	m	s		<i>N</i>	<i>E</i>	<i>Z</i>		
153	Sept. 25.	0 <i>r</i>	<i>eN</i>	5	10	—	—	—	—	—	—	* <i>P</i> vielleicht schon früher. Windstörungen.
			<i>MN</i>		12·0	—	—	—	—	—	—	
			<i>F</i>		18	—	—	—	—	—	—	
154	31.	0?	<i>ePZ?</i>	20	53	10*	—	—	—	—	—	* <i>P</i> vielleicht schon früher. Windstörungen.
			<i>eLE, N</i>		54·9	—	—	—	—	—	—	
			<i>ME</i>		55·6	—	(10)	—	(4)	—	—	
			<i>F</i>	nach 22 ^h			—	—	—	—	—	
155	31.	I <i>n</i>	<i>iPZ</i>	22	35	16	—	—	—	—	—	Herd n. P.: bei Kamtschatka ($\varphi = 49^{\circ}9$ N, $\lambda = 156^{\circ}7$ E).
			<i>iPE</i>		—	18	—	—	—	—	—	
			<i>eLE</i>	23	5·4	—	—	—	—	—	—	
			<i>M₁E</i>		10·1	—	(17)	—	(16)	—	—	
			<i>M₂E</i>		14·9	—	14	—	10	—	—	
			<i>M₃E</i>		17·5	—	13	—	10	—	—	
			<i>F</i>	23 ^{3/4}	—	—	—	—	—	—	—	

September.

156	1.	0 u	<i>iPz</i>	4	28	12			—	Windstörungen, unklares Bebenbild.			
			<i>iPN</i>	—	—	14							
			<i>iS?N</i>	34	—	37							
			<i>iS?E</i>	—	—	38							
			<i>iN</i>	36	—	18							
			<i>F</i>	5 $\frac{1}{2}$	—	—							
157	11.	I u	<i>Pz</i>	0	59	56 + 8*		8800	* Stundenlickie. Epizentrum n. P.: $\varphi = 6^{\circ}1 N$, $\lambda = 100^{\circ}3 E$ (Sumatra-Malakka).				
			<i>iSN-</i>	1	09	58							
			<i>iSE-</i>	09	—	56							
			<i>eLN</i>	30	—	—							
			<i>MN</i>	40	—	20	3-4						
			<i>ME</i>	42	—	17							
			<i>F</i>	2 $\frac{1}{4}$	—	—							
158	12.	0 u	<i>e</i>	6	24	—		—	—	Spur.			
			<i>F</i>	36	—	—							
159	13./14.	III r	<i>Pz</i>	23	33	57 + 1*		—	—	* Minutenmarke. Herd: Dardanelen.			
			<i>SN</i>	36	—	23							
			<i>SE</i>	36	—	06							
			<i>iL</i>	36.7	—	—							
			<i>MN</i>	41.7	—	10	285						
			<i>ME</i>	42.7	—	11							
			<i>F</i>	nach 1 ^h		—							

Nr.	Datum	Ch	Ph	Zeit (Greenwich)			T s	Amplitude μ			Herd- distanz	Bemerkungen
				h	m	s		N	E	Z		
160	Sept. 15.	Or	ePZ	2	(04·7)	—	—	—	—	—	—	Spur.
			eLE		05·9	—	—	—	—	—	—	
			MN		06·8	—	—	—	—	—	—	
			F	2	10	—	—	—	—	—	—	
161	16.	Ir	ePZ	21	06	09	—	—	—	—	—	(910)
			eSE		07·8	—	—	—	—	—	—	
			eLE		08·4	—	—	—	—	—	—	
			ME		10·0	—	6—7	—	(12)	—	—	
			F	21 $^{1/2}$	—	—	—	—	—	—	—	
162	17.	0v	eE	1	17·7	—	—	—	—	—	—	—
			F		25	—	—	—	—	—	—	
163	17.	0u?	iPZ	19	10	15	—	—	—	—	—	Wahrscheinlich Vorläufer eines Fernbebens. Andere Phasen unkenntlich.
			iZ		12	44	—	—	—	—	—	
			F		25	—	—	—	—	—	—	

164	19.	0v	<i>iPz</i>	21	15	39	—	—	—	—	—	—	Gefühlt in Kroatien (Drautal).
			<i>iLz</i>		16	08	—	—	—	—	—	—	
			<i>iLe</i>		16	04	—	—	—	—	—	—	
			<i>Me</i>		16·3	—	(1—2)	—	—	(5)	—	—	
			<i>F</i>		20	—	—	—	—	—	—	—	
165	20.	0?	<i>ePz</i>	7	48·4	—	—	—	—	—	—	—	Spur.
			<i>F</i>		52	—	—	—	—	—	—	—	
166	27.	0v	<i>eE</i>	4	23·3	—	—	—	—	—	—	—	
			<i>Me</i>		23·8	—	—	—	—	—	—	—	
			<i>F</i>		30	—	—	—	—	—	—	—	
167	28.	0v	<i>ePz</i>	9	15	11	—	—	—	—	—	—	Gefühlt in der Umgebung von Neunkirchen (Niederösterreich). Distanz zirka 65 km.
			<i>eLz</i>		—	21	—	—	—	—	—	—	
			<i>Mn</i>		—	27	1—2	(2)	—	—	—	—	
			<i>Mz</i>		—	25	1—2	—	—	—	—	2	
			<i>F</i>	9	16	—	—	—	—	—	—	—	
168	29.	IIu	<i>ePz</i>	21	05	01	—	—	—	—	—	—	Herd n. P.: $\varphi = 16^{\circ}6' N$, $\lambda = 138^{\circ}6' E$. Marianeninseln.
			<i>iSe</i>		16	03	—	—	—	—	—	—	
			<i>eLn</i>		43	—	—	—	—	—	—	—	
			<i>eLe</i>		42	—	—	—	—	—	—	—	
			<i>M1N</i>		52 ¹ / ₂	—	18	88	—	—	—	—	
			<i>M2N</i>	22	04	—	17	93	—	—	—	—	
			<i>Me</i>	21	58·7	—	20	—	130	—	—	—	
			<i>F</i>	23 ¹ / ₄	—	—	—	—	—	—	—	—	

Nr.	Datum	Ch	Ph	Zeit (Greenwich)			T s	Amplitude μ			Herd- distanz	Bemerkungen
				h	m	s		N	E	Z		
169	Sept. 30.	Iu	PZ	5	43	01±1	—	—	—	—	—	Minutenlücke.
			iS?N,E		53	03	—	—	—	—		
			MN		59 $\frac{1}{2}$	—	—	—	—	—		
			F	6 $\frac{1}{2}$	—	—	—	—	—	—		
170	30.	0v	iPZ	6	21	53	—	—	—	—	75	Minutenlücke. Herd wie bei Nr. 167.
			iLZ		22	03±1	—	—	—	—		
			MN		22	11	1--2	4	—	—		
			MZ		22	08	1-2	—	—	6		
			F		26	—	—	—	—	—		
Oktober.												
171	12.	Iu	ePZ	15	33·3	—	—	—	—	—	8920	Herd n. P.: $\varphi = 50^\circ 9' N$, $\lambda = 177^\circ 1' W$ (Aleuten).
			eSE		43·4	—	—	—	—	—		
			eL	16	0·6	—	—	—	—	—		
			MN		14 $\frac{1}{2}$	—	17	10	—	—		
			ME		12 $\frac{1}{2}$	—	17	—	20	—		
			F		16 $\frac{3}{4}$	—	—	—	—	—		

172	12.	Ir	<i>ePZ</i>	19	53	27			2400	Gefühlt im Kaukasus.
			<i>iPZ+</i>	.	—	31				
			<i>iSN-</i>	57	—	24				
			<i>eSN</i>	—	—	28				
			<i>eLN</i>	20	01·1	—				
			<i>cLE</i>		01·2	—				
			<i>ME</i>		02·2	—				
			<i>F</i>	20 $\frac{1}{2}$	—	—				
173	17.	Iu	<i>ePZ?</i>	10	03	17			1	Herd n. P.: $\varphi = 54^{\circ}6' N$, $\lambda = 179^{\circ}2' E.$
			<i>eL</i>		50	—				
			<i>ME</i>		58	—				
			<i>F</i>	11 $\frac{1}{4}$	—	—				
174	18.	Iu	<i>iPZ</i>	12	06	36			8700	Herd n. P.: $\varphi = 54^{\circ}6' N$, $\lambda = 179^{\circ}2' E.$
			<i>iSE</i>		16	31				
			<i>eSN</i>		16·8	—				
			<i>eLE</i>		32	—				
			<i>eLN</i>		36	—				
			<i>ME</i>		44	—				
			<i>MN</i>		45	—				
			<i>F</i>	13 $\frac{1}{2}$	—	—				
175	21.	Ir	<i>iz</i>	23	45	34				
			<i>MN</i>		46 $\frac{1}{2}$	—				
			<i>ME</i>		47	—				
			<i>F</i>	vor 12 ^h						

Nr.	Datum	Ch	Ph	Zeit (Greenwich)			T s	Amplitude μ			Herd- distanz	Bemerkungen
				h	m	s		N	E	Z		
176	Okt. 26.	0u	iPZ	9	17	36	—	—	—	—	5750	Hauptphase wenig ausgeprägt.
			iSN,E		24	59	—	—	—	—		
			F	10 $\frac{1}{4}$	—	—	—	—	—	—		
177	31.	Ir	iPZ	12	25	15	—	—	—	—	4400	Epizentrum im Atlantischen Ozean. $\varphi = 36^\circ \text{ N}$, $\lambda = 35^\circ \text{ W}$ (n. P.).
			eSN,E		31	25	—	—	—	—		
			eLN		36 $\frac{1}{2}$	—	—	—	—	—		
			MN		40 $\frac{1}{2}$	—	10	11	—	—		
			ME		40 $\frac{1}{2}$	—	13	—	14	—		
			F	13 $\frac{1}{4}$	—	—	—	—	—	—		
178	31.	Iu	ePZ?	17	38·1	—	—	—	—	—	(9100)	Epizentrum (n. P.): $\varphi = 11^\circ 2$, $\lambda = 128^\circ 8$ E.
			eSN,E		48	25	—	—	—	—		
			eLN	18	16	—	—	—	—	—		
			MN		31	—	18	20	—	—		
			ME		31	—	19	—	20	—		
			F	19	—	—	—	—	—	—		

November.

179	2.	Iu	<i>iPZ</i>	3	06	42	—	—	—	—	3450	Epizentrum n. P.: $\varphi = 35^{\circ}6' N$, $\lambda = 53^{\circ}4' E$ (Nord-persien). Bodenunruhe.
			<i>eSN</i>		11·6	—	—	—	—	—		
			<i>iSE</i>		11	56	—	—	—	—		
			<i>eLE</i>		15·4	—	—	—	—	—		
			<i>MN, E</i>		20	—	—	—	—	—		
			<i>F</i>	$3\frac{1}{2}$	—	—	—	—	—	—		
180	2.	0	<i>ePZ</i>	4	12	14	—	—	—	—	—	Gestört.
			<i>eSN</i>		(17·7)	—	—	—	—	—	—	
			<i>ME</i>		26	—	—	—	—	—	—	
			<i>F</i>	$4\frac{1}{2}$	—	—	—	—	—	—	—	
181	2.	0	<i>eN</i>	21	48	—	—	—	—	—	—	Spur, Windstörung.
			<i>F</i>	22	—	—	—	—	—	—	—	
182	7.	IIu	<i>PZ</i>	7	51	56 \pm 1	—	—	—	—	8300	Minutenlücke. Herd: Alaska. n. P.: $\varphi = 56^{\circ}5' N$, $\lambda = 166^{\circ}3' W$.
			<i>iSN</i>	8	01	31	—	—	—	—	—	
			<i>eLN</i>		16·7	—	—	—	—	—	—	
			<i>eLE</i>		$12\frac{1}{2}$	—	—	—	—	—	—	
			<i>MN</i>		31	—	19	35	—	—	—	
			<i>ME</i>		$31\frac{1}{2}$	—	21	—	85	—	—	
			<i>F</i>	nach 10 ^h			—	—	—	—	—	

Nr.	Datum	Ch	Ph	Zeit (Greenwich)			T s	Amplitude μ			Herd- distanz	Bemerkungen
				h	m	s		N	E	Z		
183	Nov. 7.	Iu	<i>eLN, E</i>	17	29	—	—	—	—	—	—	Geht in das folgende Beben über.
			<i>MN</i>	35	—	—	20	20	—	—	—	
			<i>ME</i>	33	—	—	20	—	20	—	—	
184	7.	Iu	<i>ePZ</i>	17	(44·5)	—	—	—	—	—	—	ca.10000 Herd wahrscheinlich wie bei Nr. 183.
			<i>eLN, E</i>	18	14—15	—	—	—	—	—	—	
			<i>MN</i>	18—21	—	—	20	30	—	—	—	
			<i>ME</i>	18	—	—	20	—	33	—	—	
			<i>F</i>	18 ³ / ₄	—	—	—	—	—	—	—	
185	7.	0v	<i>ePZ</i>	19	55·2	—	—	—	—	—	—	—
			<i>iS?N</i>	56	41	—	—	—	—	—	—	
			<i>eL</i>	57·5	—	—	—	—	—	—	—	
			<i>F</i>	20	05	—	—	—	—	—	—	
186	17.	0u	<i>eLN, E</i>	12	20	—	—	—	—	—	—	—
			<i>ME</i>	23	—	—	19	—	6	—	—	
			<i>MN</i>	23	—	—	19	7	—	—	—	
			<i>F</i>	12 ¹ / ₄	—	—	—	—	—	—	—	

187	19.	<i>0 u</i>	<i>iPz</i>	14	08	12	—	—	—	—	10300	Starke Windstürme, Herd wahrscheinlich Mexiko.
			<i>eSE</i>		19·4	—	—	—	—	—		
			<i>eSN</i>		19·4	—	—	—	—	—		
			<i>eLN</i>		42	—	—	—	—	—		
			<i>F</i>	$15\frac{1}{4}$	—	—	—	—	—	—		
188	28.	<i>0 r</i>	<i>iPz</i>	21	02	27	—	—	—	—	(4200)	Unklares Bebenbild. Bodenunruhe. Herd n. P.: $\varphi = 39^\circ$ N; $\lambda = 69^\circ$ E.
			<i>iE</i>		03	49	—	—	—	—		
			<i>eS?N</i>		08·5	—	—	—	—	—		
			<i>ME</i>		12·9	—	7	—	6	—		
			<i>F</i>	$21\frac{1}{2}$	—	—	—	—	—	—		
189	30.	<i>0 r</i>	<i>eE</i>	3	14·9	—	—	—	—	—	—	Spur.
			<i>F</i>	$3\frac{1}{2}$	—	—	—	—	—	—		

Dezember.

190	1.	<i>I u</i>	<i>iPz</i>	8	37	02	—	—	—	—	9200	Herd n. P.: $\varphi = 29^\circ$ N, $\lambda = 136^\circ$ E (südlich von Japan).
			<i>eSN</i>		47·4	—	—	—	—	—		
			<i>eLN</i>		9	10—11	—	—	—	—		
			<i>MN</i>			$12\frac{1}{2}$	—	16	20	—		
			<i>ME</i>			20—21	—	16	—	11	—	
			<i>F</i>		$9\frac{3}{4}$	—	—	—	—	—		

Nr.	Datum	Ch	Ph	Zeit (Greenwich)			T s	Amplitude μ			Herd- distanz	Bemerkungen
				h	m	s		N	E	Z		
191	Dez. 5.	0 u	iPZ	12	39	04	—	—	—	—	7700	Hauptphase sehr schwach ausgeprägt. Herd n. P.: $\varphi = 57^\circ$ N, $\lambda = 134^\circ$ W (Nordamerika).
			eSE		48·7	—	—	—	—	—		
			ME	13	17—19	—	—	—	—	—		
			F	13 $\frac{1}{2}$	—	—	—	—	—	—		
192	7.	0 u	ePZ	23	03·0	—	—	—	—	—	(8100)	Maximum nicht ausgeprägt, vielleicht zwei Beben.
			iZ		04	18	—	—	—	—		
			iRPN		09	42	—	—	—	—		
			eS?N		13·7	—	—	—	—	—		
			F	nach 24 ^h			—	—	—	—		
193	9.	I u	ePZ	0	01	20	—	—	—	—	9000	Bodenunruhe. Herd n. P.: $\varphi = 39^\circ$ N, $\lambda = 143^\circ$ E (Japan).
			iPZ		01	22	—	—	—	—		
			eSN,E		11·5	—	—	—	—	—		
			eLN,E		33	—	—	—	—	—		
			MN		40	—	16	35	—	—		
			M ₁ E		38	—	20	—	25	—		
			M ₂ E		43·3	—	14	—	20	—		
			F	1 $\frac{1}{2}$	—	—	—	—	—	—		

Nr.	Datum	<i>Ck</i>	<i>Ph</i>	Zeit (Greenwich)			<i>T</i> s	Amplitude μ			Herd- distanz <i>r</i>	Bemerkungen
				h	m	s		<i>N</i>	<i>E</i>	<i>Z</i>		
198	Dez. 28.	0 u	<i>ePZ</i>	8	13	20	—	—	—	—	—	Herd n. P.: $\varphi = 11^\circ$ N, $\lambda = 122^\circ$ E
			<i>eLN,E</i>		52	—	—	—	—	—	—	
			<i>ME</i>	9	2—3	—	15	—	11	—	—	
			<i>MN</i>	9	00	—	16	15	—	—	—	
199	29.	0 r	<i>ePZ</i>	21	54·8	—	—	—	—	—	—	Einige lange Wellen.
			<i>eLN</i>		22	35	—	—	—	—	—	
			<i>F</i>	22 $\frac{3}{4}$	—	—	—	—	—	—	—	

Anmerkung. Vom 27. Dezember, 17^h, bis 28., 8^h 45^m, und 28. Dezember, 9^h bis 11 $\frac{1}{2}$ ^h, Horizontalpendel außer Funktion.